

225
96-5

1/7

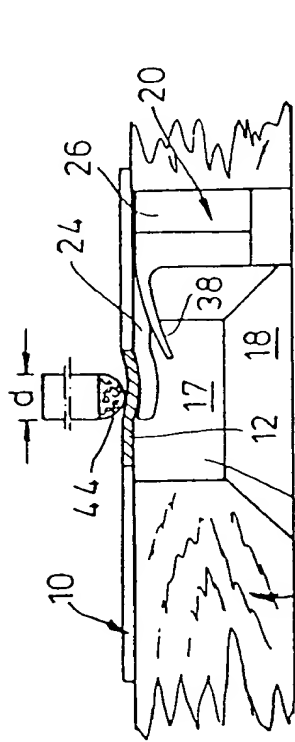


Fig. 2

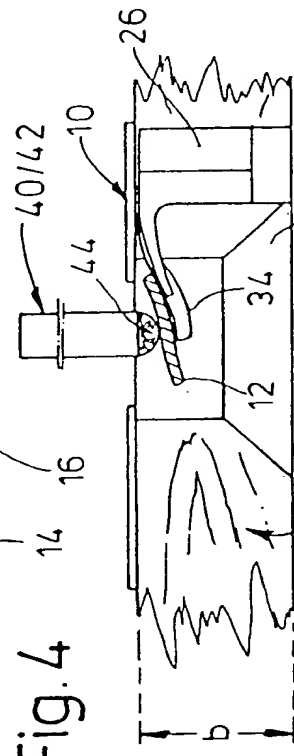


Fig. 4

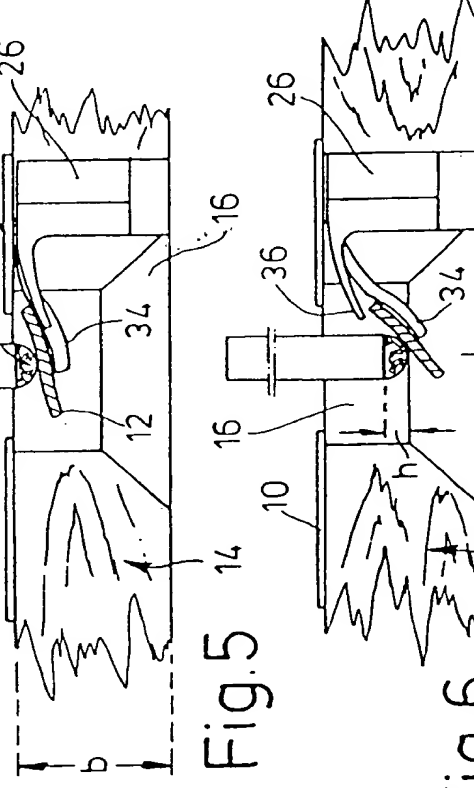


Fig. 5

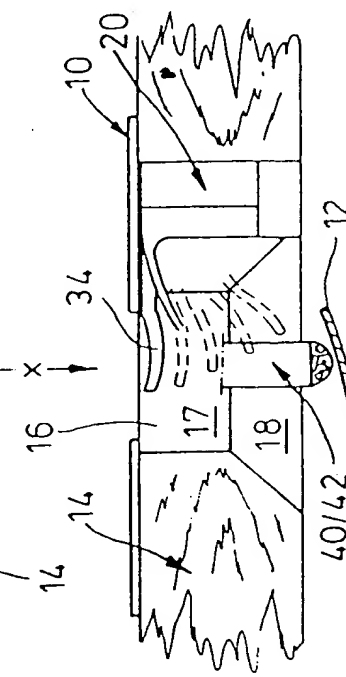


Fig. 6

Fig. 7

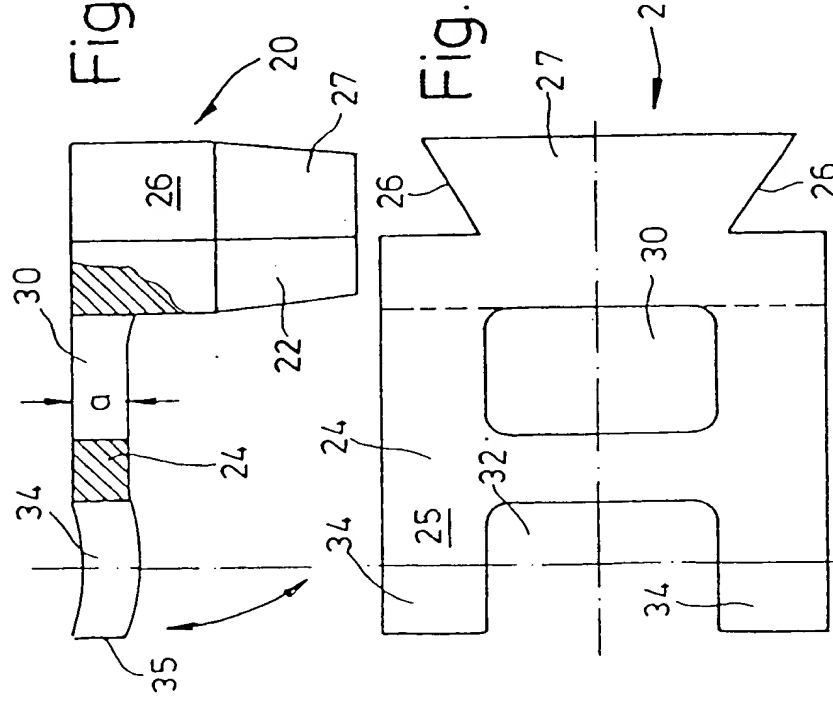


Fig. 1

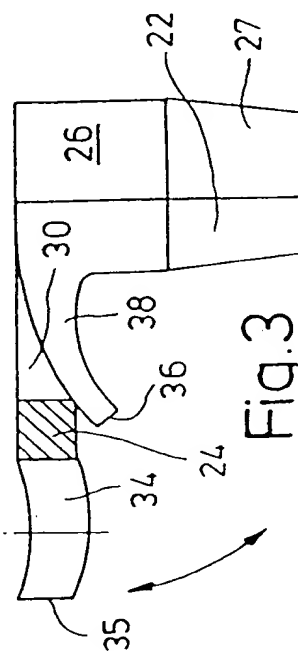


Fig. 3

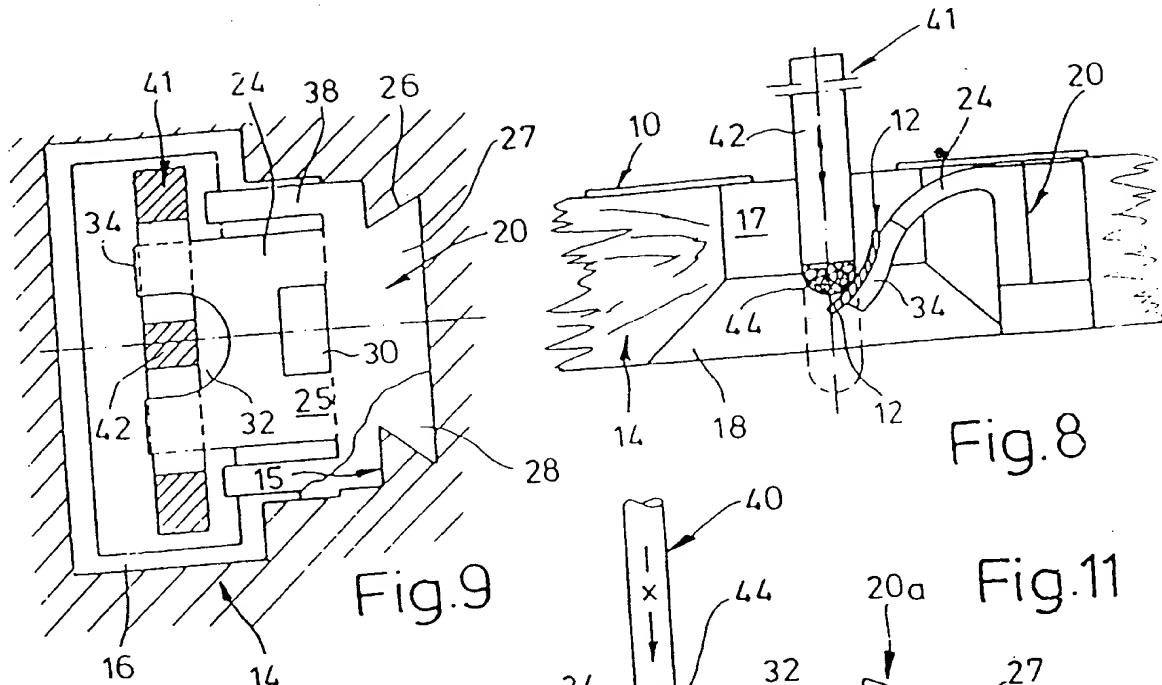
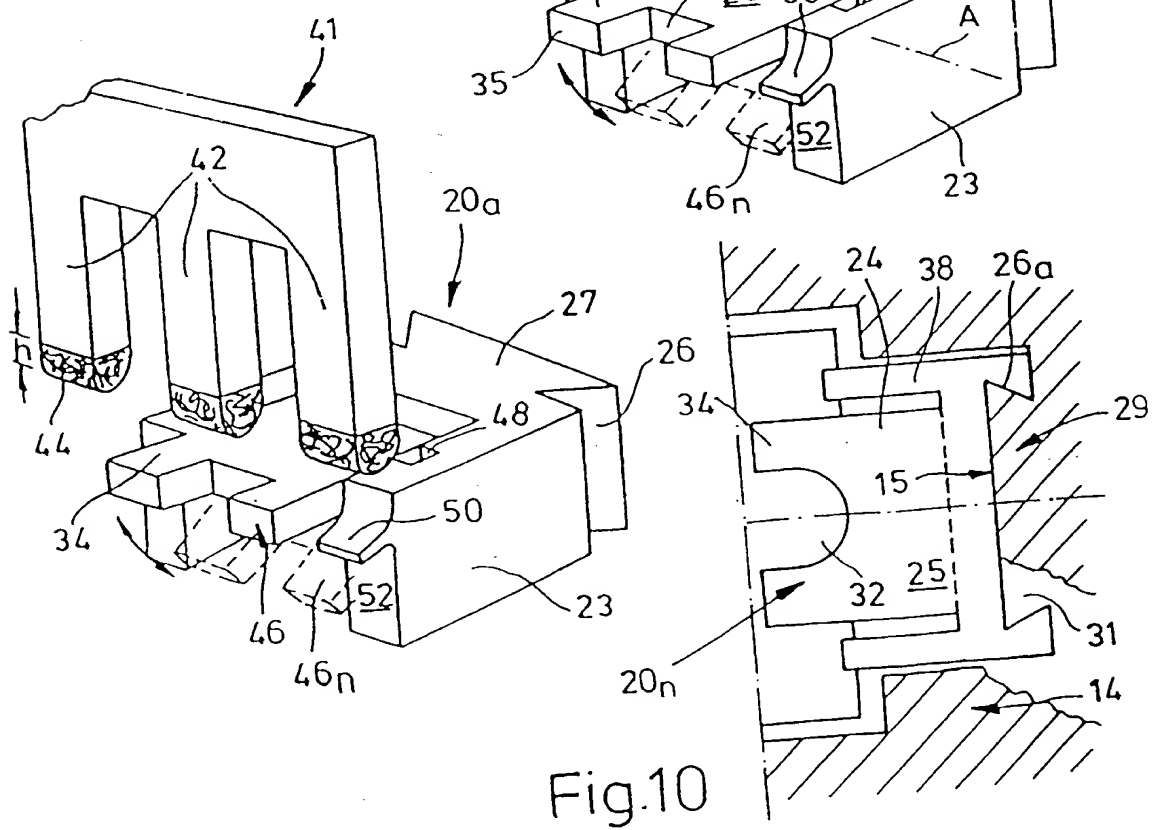


Fig.12



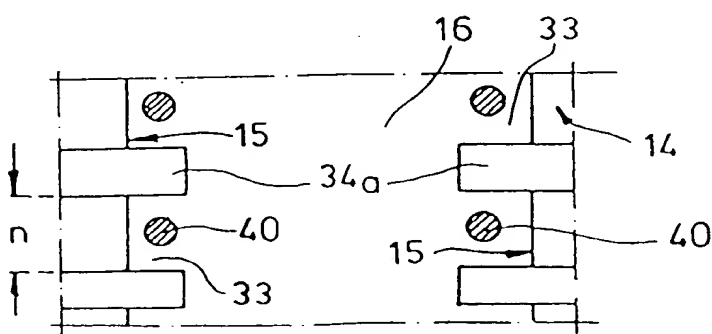
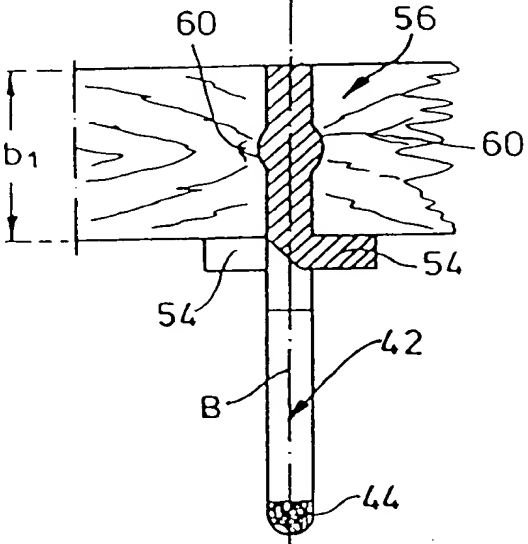
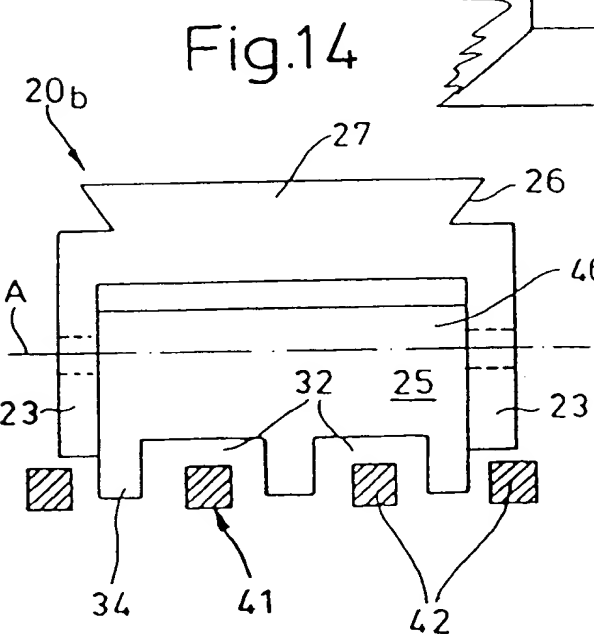
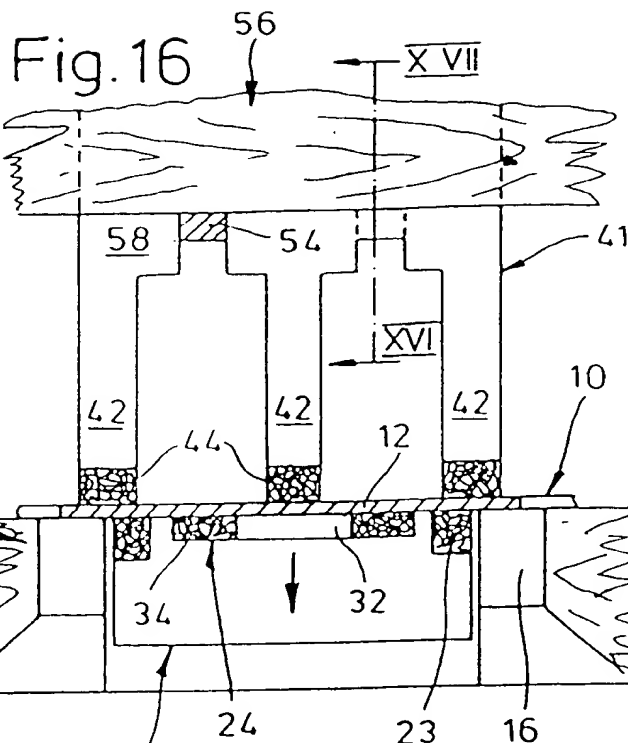
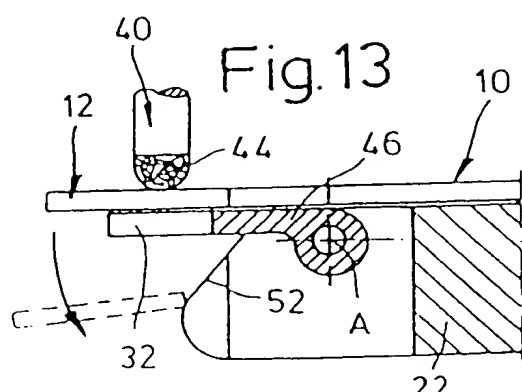


Fig. 15

Fig. 17

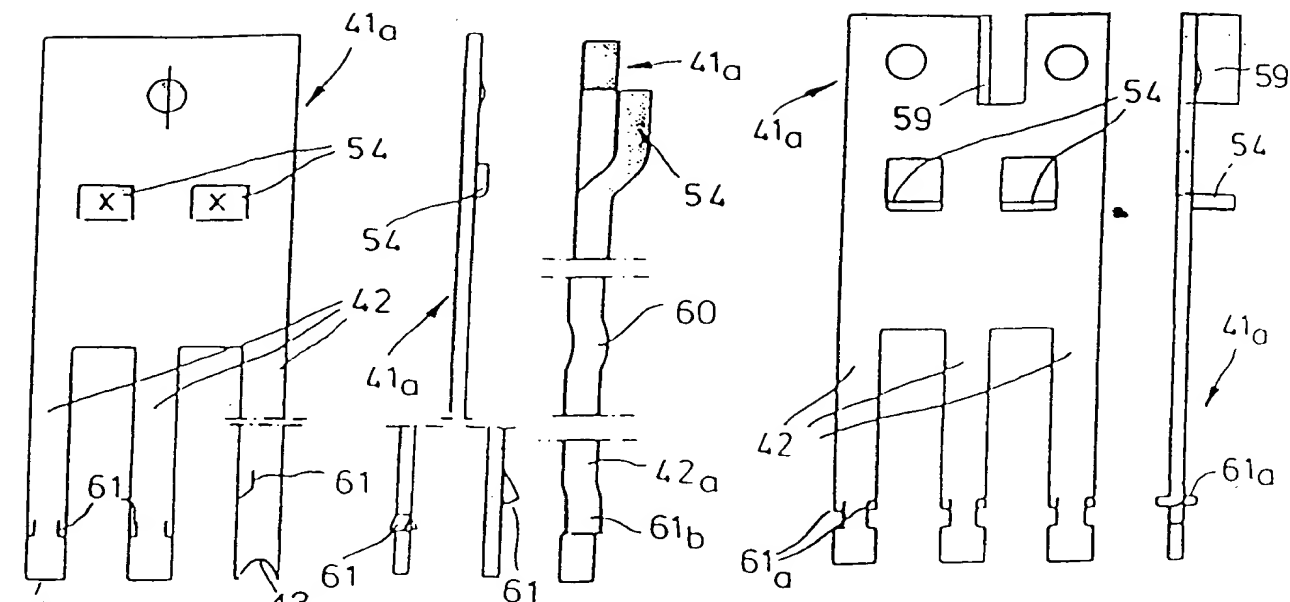


Fig.18

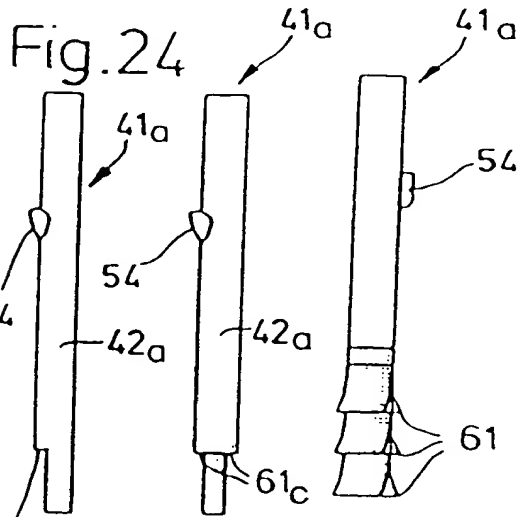


Fig.25 Fig.26

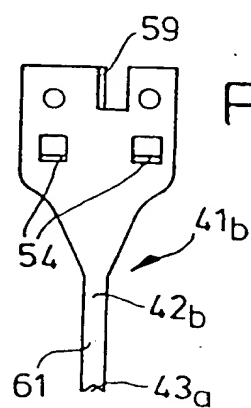


Fig.23

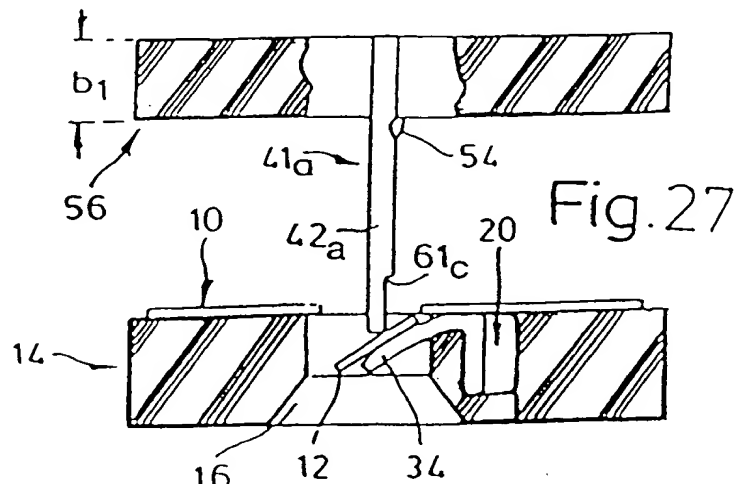


Fig.27

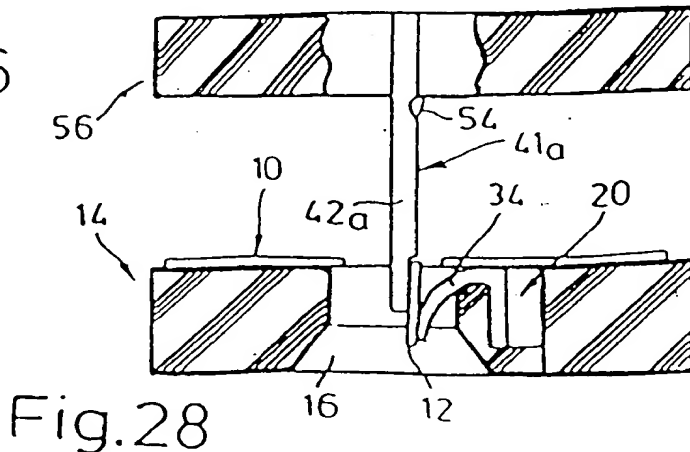


Fig.28

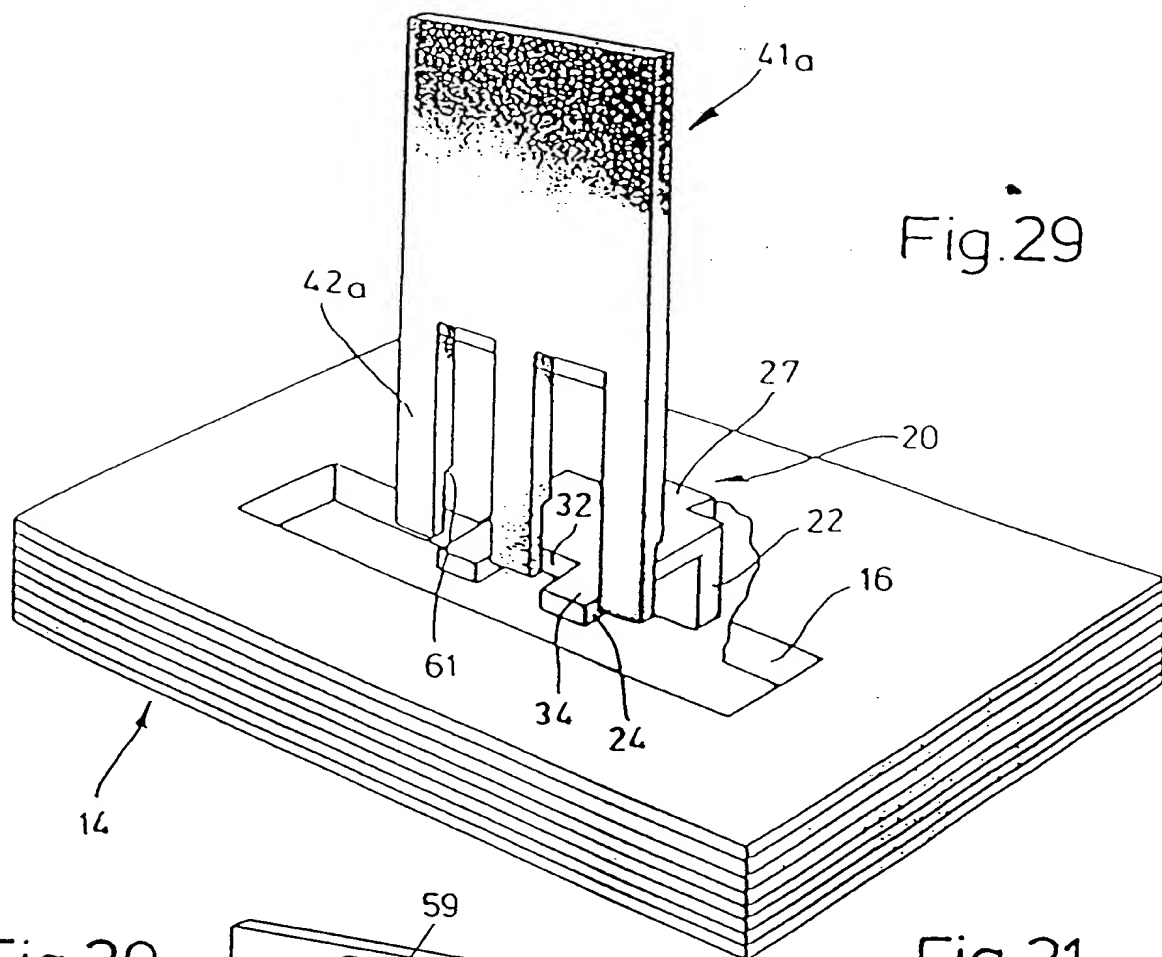


Fig.30

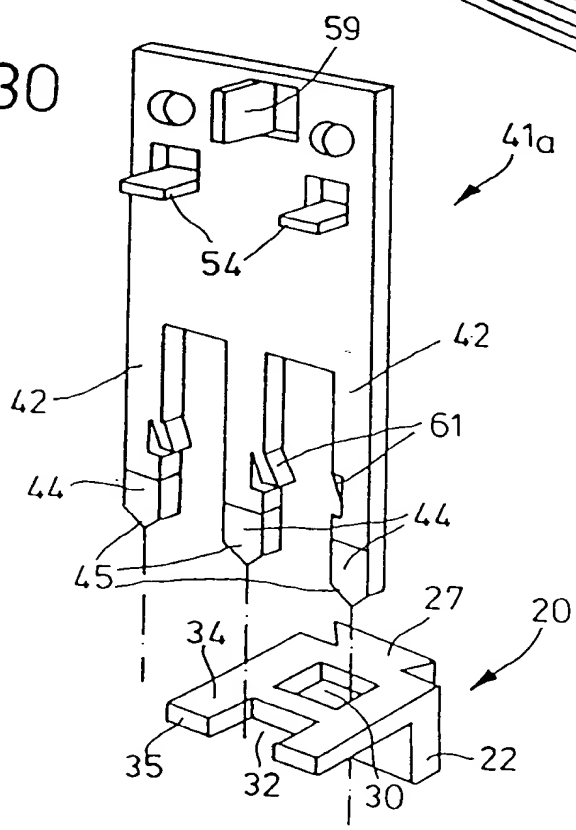
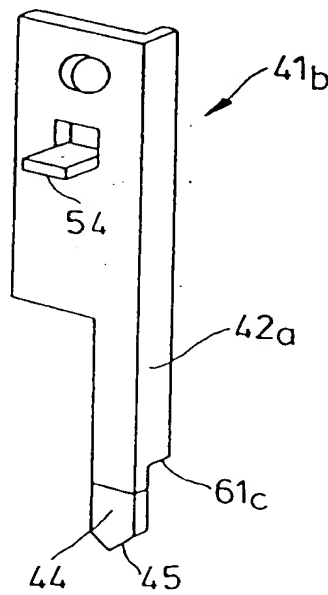


Fig.31



6/7

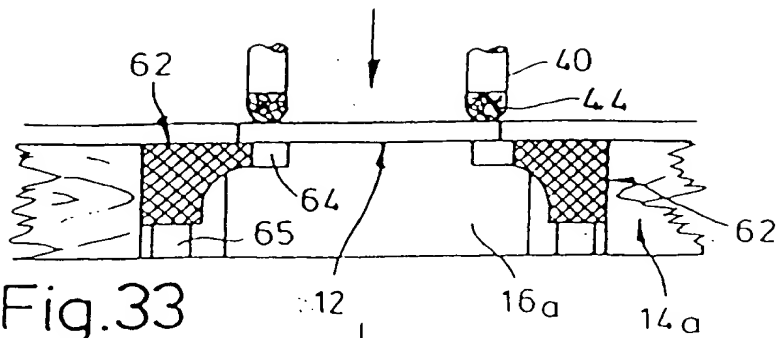


Fig. 33

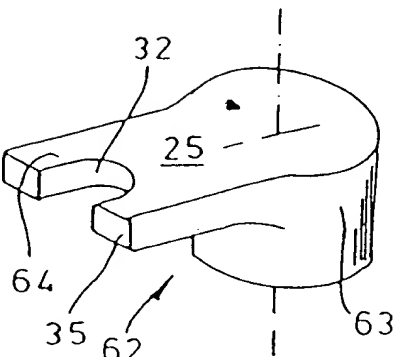


Fig. 32

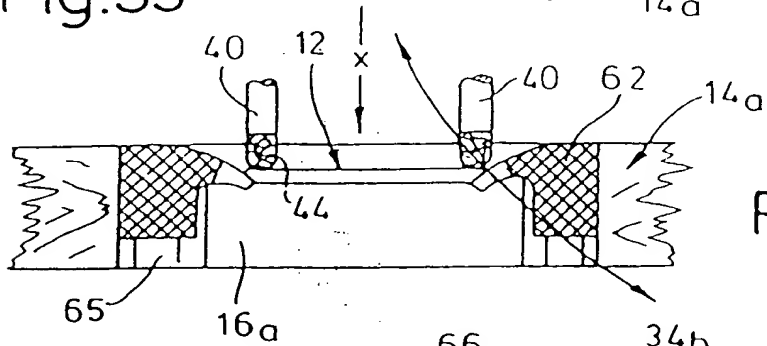


Fig. 34

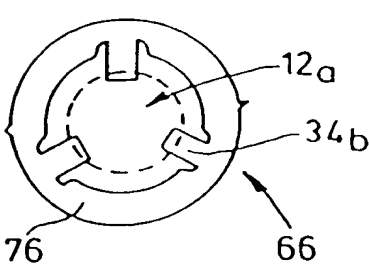


Fig. 35

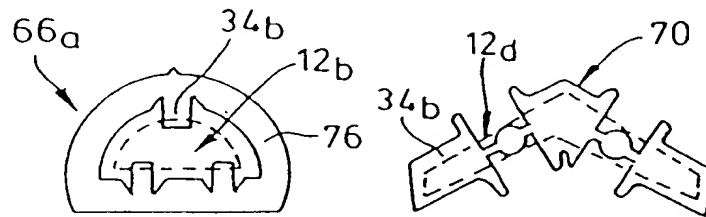


Fig. 36

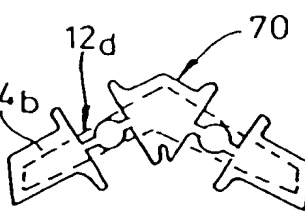


Fig. 37

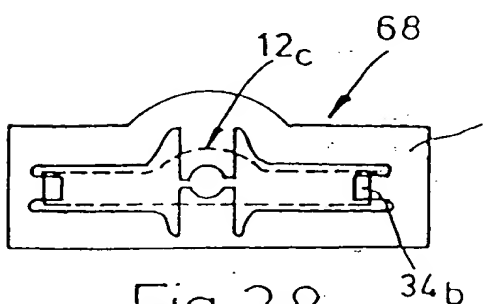


Fig. 38

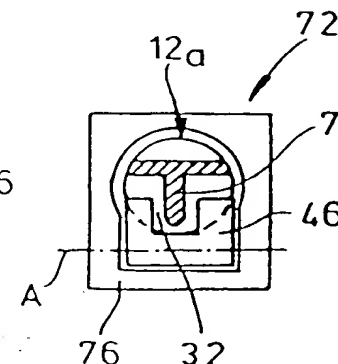


Fig. 39

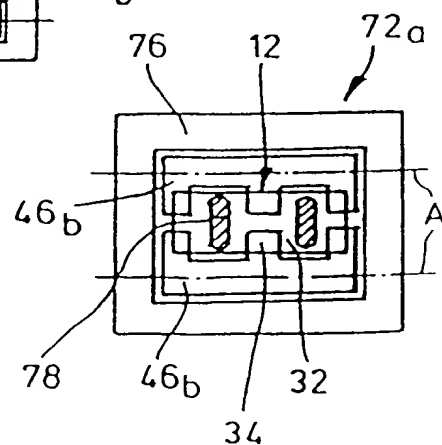


Fig. 40

7/7

Fig. 41

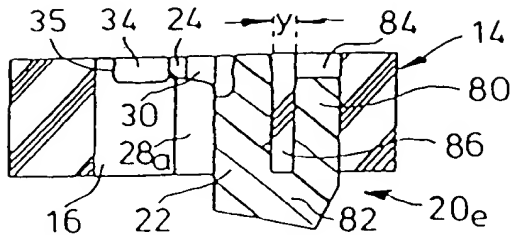


Fig. 43

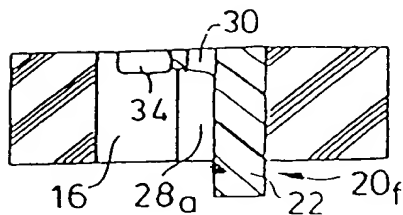


Fig. 44

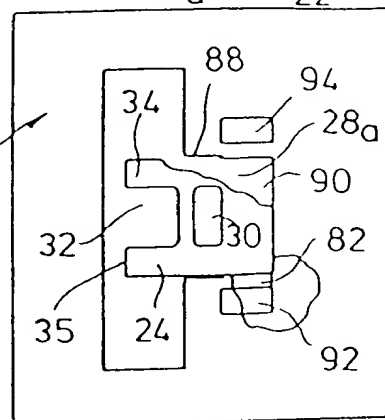


Fig. 42

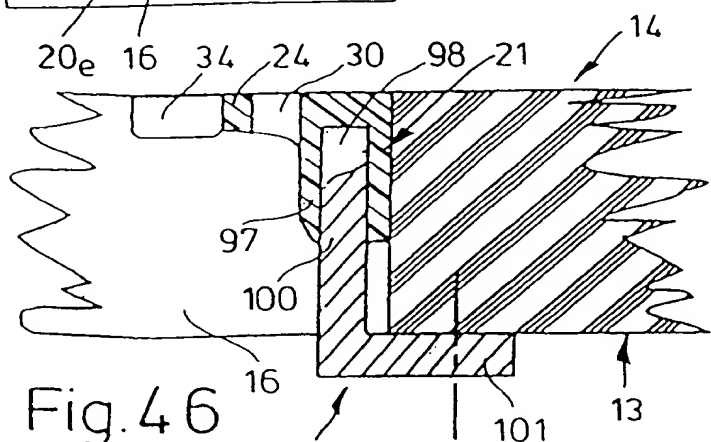
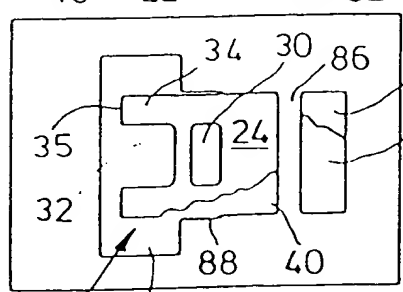


Fig. 46

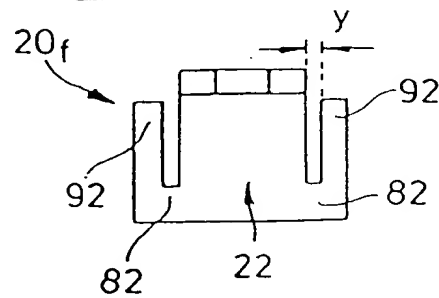


Fig. 45

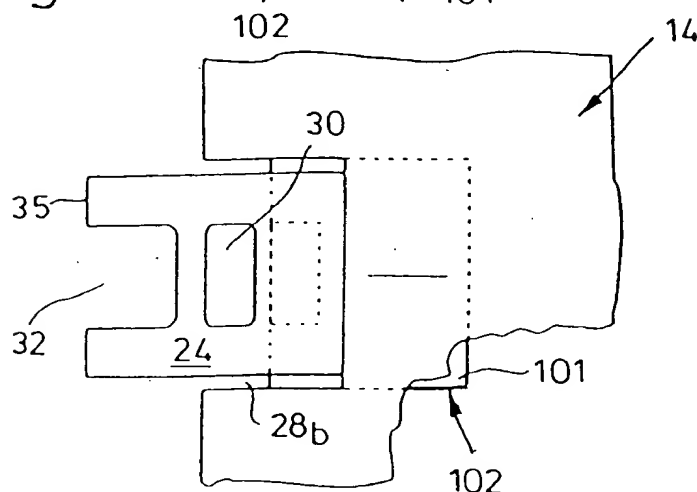


Fig. 47

Fig. 48

